

مساهمة أفضل حلقة بحثية طلابية - كلية الهندسة قسم الاتصالات -

**عنوان الحلقة البحثية : هوائي يوقي حديد في مجال THz ذو معامل انعكاس أعلى للتطبيقات الحالية والمستقبلية**

ملخص:

الهدف الرئيسي من هذا البحث هو تصميم ومحاكاة هواي بوق بعمق في مجال التراهزير ذو عامل انعكاس أقل، يستخدم الهواي البوقي في الاتصالات فللتوصيهات العالمية والربح الكبير والنطاق العريض، لقد قام العديد من الباحثين بدراسة هذا النوع من الهواويات، ومنها المذكورة في المقدمة.

સુરત જિલ્લા -

حدث في العقود الفليلة الماضية، تطور سريع في مجال الاتصالات الفضائية واللاسلكية، وبالتالي فإن الاتصال الحالي والمستقبل يرتكز على تغيير الحجم وتحفيض التكلفة [1]. إن الاتصال للتغير حجم الأجهزة يؤدي إلى تحفيض حجم الهوائي، لذلك، علينا تصغير حجم الهوائيات إلى بخعة ميكروماتات ضمن نطاق عريض من الإرادات العالمية التي تبدأ من نطاقات الأشعة تحت الحمراء إلى الإرادات الضوئية [2]. بعد الهوائي البوقي أحد أسطح الهوائيات وهو الآخر استناداً لها في نطاق الارادات البصرية والأشعة تحت الحمراء، الهوائي البوقي عبارة عن أنواع محوّفة ذو مقاطع عرضية مختلفة، في نهاية قد يكون مستديراً أو منفرج إلى فتحة أكبر، يتأثر الأداء العام لهوائيات باتجاه وتنوع وطول وارتفاع النهاية المفتوحة للهوائي [3]. يستخدم الهوائي البوقي كتجذبة (horn Feed) للهوائيات الأكبر حجماً مثل هوائيات القطب المكافئ، يستخدم أيضاً كمعايير اقياس رفع الهوائيات الأخرى، وكذلك في الهوائيات التوجيهية مثل مدفع الرادار وفتحة الباب الثنائي، يوفر الهوائي البوقي نطاقاً واسعاً عالياً ونسبة موجهة واقعية متحفظة (VSWR).

#### - تطبيقات المهاي البوقي الثانوي:

قد دخل المروانى اليوقي الثانوى في الوقت الحاضر فى العديد من المجالات، منها:

- **في الفحص المجهوري:** تكمن العدید من الباھین من تطوير الفحص المجهوري البصري بسبب البيانات الناتجة [4].
  - **في الاتصالات:** بسبب الطلب الممازید على الاتصالات عاليۃ السرعة والبيانات ذات السرعة العالية، هناك حاجة لاستخدام ترد العمل الاعلى للطیف الكهرومغناطيسي يلعب الهوائي التانوي دوراً کیساً ومهماً في ذلك [5].
  - **في الاستشعار:** البنية المعمورۃ للهوائي تجعله قادرًا حساسیة للتغيرات البيئیة [6].
  - **في مجال حصاد الطاقة:** تضمن مجموعة الهوائيات التانوية العدید من التطبيقات [7]. يتم تولید الكهرباء عن طريق إشعاع الجسم، وعمليات التدفئة والتبريد داخل الملاس، وأنظمة التبريد من خلال تحويل الإشعاع الحراري تحت الأحمور إلى نوع آخر من الإشعاع، ومدمجات الطاقة وتبريد الأجهزة الإلكترونية مثل تلك التي تستخدم لتقليل حرارة الكمبيوتر الشخصیة (اللپ توب) بدلاً من المراوح التقليدية.
  - **في المستوى الشعسي:** ي Enhancement الهوائي التانوي بالبعد من المرايا: يجب أن تكون الخلايا الكهرومغناطیسة سمیکة لامتصاص أفضل للطیف الشعسي، ومع ذلك فإن جزءاً كبيراً من الطیف الشعسي، وخاصة ضمن الأطوال الموجية (1100-600 nm)، يمكن امتصاصه ضعیفاً. إن استخدام الخلايا الكهرومغناطیسة الكثيفة ينخفض من الكفاءة، لذلك يمكن تقلیل استخدام الخلايا الشعسیة ذات الهوائي التانوي مع الحفاظ على ثبات السمعک البصري [8].
  - **تعتمد الخلايا الشعسیة الكهرومغناطیسة على المبدأ الاساسی في عملهم.** تعتمد العملية على تولید أزواج ثقب-الكتيون والکیتون التي تقتصر على نطاق معین. يحتوي الإشعاع الشعسي الذي يصل إلى الأرض على فوتونات ذات طاقة أعلى من طاقة النسب في السيليكون، وبالتالي فإن الخلايا الشعسیة سوف تلعن الفوتونات ذات الطاقة الأعلى، يمكن أن تسبب الطاقة المهدورة حرارة بسبب الفرق بين الثقب والبلكيون في السيليكون، ومع ذلك، يمكن لخلايا الهوائي التانوي إلیامدین، المکانیکا (1990)، جلد ۱، شماره ۱، ص ۱۷-۲۰ [9].

- المحاكاة الحاسوبية لنماذج الهوائي النانوي الأربع المفترضة:

تحميل الملفات البحوثية

**1- التصميم الأول المقترن (الهوائي البولي البسيط):**  
يتكون التصميم الأول للهوائي البولي البسيط من طبقتين معدنيتين تمثلان دليل الموجة وفتحة فيزيائية في نهاية خط النقل. يتم استخدام منفذ الدليل لموجي لذراة خط النقل، يمثل خط النقل المنتظر -Au-Air-Air-Au، ويوضح الشكل 3.1 الرسم التخطيطي لخط النقل، وللحصول على انتشار ضمن ترددات تراهيرت، تم

فاصد الهندسية للهواوي

لشکار (3.1) ، بخت النقا



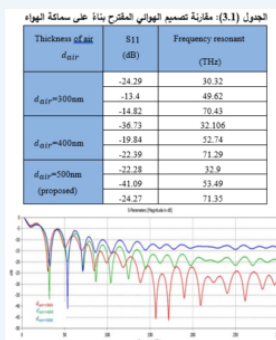


الشكل (3.2) الأبعاد الهندسية للهوائي البوقي الثنائي البسيط

### 1-3 دراسة بaramترية للهوائي البوقي الثنائي البسيط

#### 1-1-3 تأثير تغير سمكية الهواء

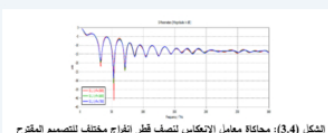
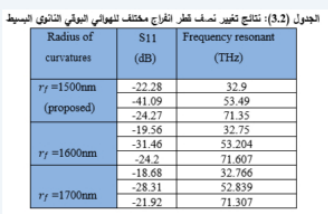
تم تغيير أحد بارامترات الهوائي المقترح وهي سمكية طبقة الهواء كما هو موضح في الجدول 3.1 من الواضح أنه عند زيادة سمكية طبقة الهواء ( $d_{air}=500nm$ ) تزداد قيمة معامل الانعکاس أكثر من السماكتات الأخرى المقتصرة، حيث تكون 24.27dB و 41.09dB و 22.28dB و 32.9 و 53.49 و 71.35g عند الترددات على الترتيب. لذلك من المهم توسيخ أنه يمكن تحسين معامل الانعکاس عن طريق زيادة سمكية طبقة الهواء. يظهر الشكل 3.3 معامل الانعکاس S<sub>11</sub> المدسووب عند ترددات مختلفة لسمكيات مختلفة لطبقة الهواء.



الشكل (3.3): سماكتات مختلفة للهواء من أجل الهوائي المقترح

#### 2-1-3 تأثير نصف قطر مختلف من الانفراج (الانحناءات):

تم أمثلة نصف قطر الانفراج  $r_f$  للتحقيق أفضل معامل انعکاس وبمكنتنا ملاحظة تأثير تغيير  $r_f$  على أداء التصميم المقترح كما هو ملخص في الجدول 3.2. في البداية يتم أخذ قيمة  $r_f$ تساوي 1500nm و يتم زيادتها بمقدار 100nm حتى تصل إلى القيمة 1700nm. تحدى الإشارة إلى أنه عندما يكون  $r_f$  يساوي 1500nm فإنه يمكن تحقيق أفضل قيم لمعامل الانعکاس S<sub>11</sub>. كما يظهر في الشكل 3.4 مقارنة معامل الانعکاس S<sub>11</sub> عند ترددات مختلفة لقيم مختلف  $r_f$ .



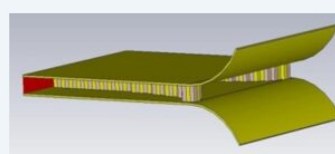
الشكل (3.4): معاشرة معامل الانعکاس نصف قطر الانفراج مختلف للتصميم المقتراح

على الرغم من أن الهوائي المقترح ي العمل على عمل ضمن مجال التراهيز، إلا أن هناك بعض العيوب: على سبيل المثال، الإشارة لها توافقية، عرض النطاق الأردي ضيق للغاية، وبناء على ذلك نستنتج أن هناك تسرع للإشارة، لذلك سنقوم بعض التقنيات الجديدة للحصول على شرحة أفضل وسنقوم بالتفصيل بالتصميم الثاني المقتراح.

### 3- التصميم الثاني المقتراح (الهوائي البوقي الثنائي الذهبي - السيليكوني):

الهدف الأول الذي يجب دراسته في التصميم الجديد للهوائي الثنائي الذهبي-السيليكوني هو حساب بaramترات خط النقل، التصميم المقتراح مكون من طبقتين من الذهب تقاطع مع الهواء وتدخل مجموعة من الفيتات المربعة كما هو موضح في الشكل 3.5. تم ضبط سمكية طبقات الذهب على 50nm ووظيفة الهواء على .4000nm، وطول البوقي ( $P_{horn}$ ) يساوي 2000nm، وطول دليل الموجة ( $P_{wg}$ ) يساوي 400nm.

يتم ترتيب مجموعة المربعات عبر مادة ناقلة وعادة عازلة بالتناوب في شكل هندسي، كما هو موضح في الشكل 3.6.



**الشكل (3.5): نظرة عامة على تصميم الهوائي  
البولي النانوي الذهبي-السيليكوني**



الشكل (3.6) تم تشكيل فيها مربعة من الذهب  
والسيلكون في الشبكة الهندسية المقترنة

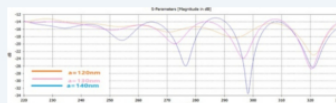
**3-2 دراسة بaramترية الهوائي البولي النانوي الذهبي - السيليكوني**

**3-2-1 تأثير الطول المختلف لطلع المربع (a)**

يوضح الجدول 3.3 مقارنة بين قيم مختلفة لطول الذهب المربع (a). من الواضح أنه عندما يكون طول متساوي 140nm، يمكننا الحصول على أفضل قيمة لمعامل الانعكاس من القيم الأخرى. ولذلك، يتم استخدام قيمة (a) هذه في تنفيذ الهوائي كطفل ضلع المربع، كما ينم توضيح مقارنة معامل الانعكاس لقيمة مختلفة لـ (a) في الشكل 3.7.

الجدول (3.3): مقارنة بين قيم مختلفة لطول ضلع المربع		
The length of square side	S11 (dB)	Frequency resonant(THz)
$a=120\text{nm}$	-16.74	270.5
	-18.29	293.7
	-23.01	321.16
$a =130\text{nm}$	-19.95	272.57
	-23.89	296.53
	-26.74	320.3
$a =140\text{nm}$ (proposed)	-25.97	276.42
	-33.42	298.17
	-26.43	321

الجدول (3.3): مقارنة بين قيم مختلفة لطول  
طلع المربع

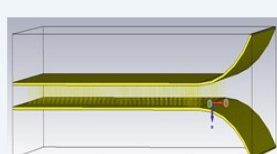


الشكل (3.7): مقارنة لمعامل الانعكاس لقيم  
مختلفة لطول ضلع المربع

من الواضح أن ترددات الرين تتأثر عند تغيير مقدار (a). يلاحظ أن معامل الانعكاس يميل إلى الانخفاض مع زيادة قيمة البارامتر (a).

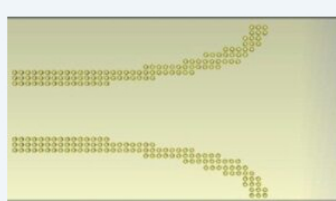
**3-3 التصميم الثالث المقترن (الهوائي البولي النانوي الذهبي-الأسطوانى):**

يتكون الهوائي البولي النانوي الذهبي-الأسطوانى المقترن من طبقتين ذهبيتين عند أدنى نهايات دليل الموجة الذي يمثل خط النقل ومنفرج عند فتحة النهاية. يمثل بعد التصميم المقترن سماكة الذهب وطبقات الهواء التي تم ضبطها على 50nm و 400nm على الترتيب، كما هو موضح في الشكل 3.8.

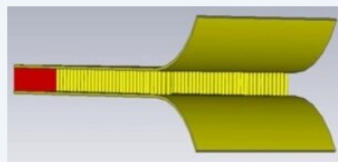


الشكل (3.8): هوائي نانوي بوق  
ذهبي-أسطواني طبقتين فقط من  
الذهب

يتكون شكل الهوائي البوق من دليل موجة صدعي بطريقة تزيد الفتحة الفزيائية والتالي روح الهوائي وموافقة تدريبية لمamacare دليل الموجة مع الفراغ الحر. طول البوق ( $P_{horn}$ ) يساوى 2000nm، وطول دليل الموجة ( $P_w$ ) يساوى 1500nm. تم ضبط ارتفاع الفتحة الأساسية (a) على 4000nm، وبعثر نصف قطر الانحناء وزاوية الانفراج من البارامتر المهمة جداً الذي تؤثر على الاتجاهية وروح الهوائي، التي تم ضبطها على 1500nm و 45° على الترتيب. يتم ترتيب فيها ذهبية أسطوانية في الشبكة الهندسية كما هو موضح في الشكل 3.9 a,b للتقليل سرب الإشارة الكهرومغناطيسية عبر دليل الموجة.



نـ (a) تم تشكيل فيها ذهبية-أسطوانية في هـ



(b) نظرة عامة على تصميم الهوائي النانوي  
البوق الذهبي-الاسطوانى

الشكل (3.9): تصميم هوائي نانوي ببوق ذهبي-اسطوانى (a) تم تشكيل فيا دهبية-اسطوانية في هدم الشبكة الهندسية. (b) نظرة عامة على تصميم الهوائي النانوى البوقى الذهبي-الاسطوانى

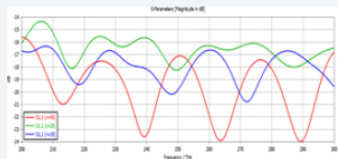
### 3-1-3-3 دراسة بارامترية للهوائي النانوى البوقى الذهبي-الاسطوانى

#### 2-1-3-3 تأثير قيم مختلفة لنصف قطر فيا (r)

يتم تحديد نصف قطر فيا أو المفتدة ( $r$ ). تم أخذ ثلاثة قراءات لتفسير نتائج الهوائي المقترن كما هو مبين في الجدول 3.4 . تم تزدادات مختلفة في  $r$  بمقدار 25nm . إنها موافقة ممانعة جيدة عند 45nm و 35nm و 25nm .

الجدول (3.4): مقارنة للنموذج المقترن من أجل أصناف قطر مختلفة لـ فيا		
	S11 (dB)	Frequency resonant (THz)
$r=25\text{nm}$	-18.11	215.92
	-18.25	249.35
	-17.99	287.54
$r=35\text{nm}$	-19.4	218.29
	-20.17	248.2
	-20.73	272.53
$r=45\text{nm}$ (proposed)	-23.58	239.45
	-23.89	263.65
	-23.96	289.22

الجدول (3.4): مقارنة للنموذج المقترن من أجل  
أصناف قطر مختلفة لـ فيا



الشكل (3.10): محاكاة معامل الانعكاس عند  
نصف قطر مختلف لـ فيا (r)

### 3- النموذج الرابع المقترن: الهوائي البوقى النانوى دليل موجة مدمج الركيزة

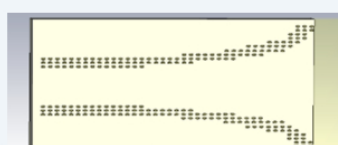
تم استخدام تقنية جديدة تسمى دليل الموجة مدمج الركيزة SWI في التصميم الرابع للهوائي النانوى البوقى. يتكون التصميم المقترن للهوائي النانوى البوقى دليل الموجة مدمج الركيزة من طبقتين معدنيتين تمتلئان خط نقل متعرض بواسطه مفتقدين تهتزان خط نقل متعرض بواسطه تدريجية لممانعة دليل الموجة بمقدار خط نقل متعرض بمقدار طبقات الركيزة. دليل الموجة مدمج الركيزة يحتوى على طبقات الركيزة بين طبقات الذهب Rogers RT5880 . وظل فسازتها  $\epsilon_r = 2.2$  وظل فسازتها  $\epsilon_r = 0.0009$  . كما هو موضح في الشكل 3.11



الشكل (3.11): الهوائي البوقى النانوى دليل  
موجة مدمج الركيزة أثنا من الذهب و  
Rogers RT5880

### الشكل (3.11): الهوائي البوقى النانوى دليل موجة مدمج الركيزة أثنا من الذهب و Rogers RT5880

في طبقة الركيزة يتم عمل ثقوب على شكل هندسي محدد. يتم عمل الثقوب بمادة ناقلة تسمى فيا، ويفضل أن تكون من نفس نوع الطبقات الحصول على موافقة أكبر كما هو موضح في الشكل 3.12 a,b



(a) يتم عمل الثقوب بمادة عازلة

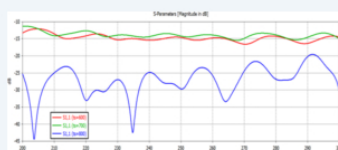


(b) تستخدم فيها لمعلم  
النقوب

#### 3-4-1 دراسة بaramترية للهواي الثنوي البوفي دليل موجة مدمج الركيزة

##### 3-1-1-4-3 تأثير سماكاتات مختلفة للعازل (ts)

يتم فحص سماكة المادة العازلة عن طريق اختبار ثلاثة قيم من الواضح أنه عند سمك  $S_{11}$  له أفضل قيمة تساوي  $-800\text{nm}$ . فإن معامل الانعكاس  $S_{11}$  له أفضل قيمة تساوي  $-42.4\text{dB}$ ,  $-44.37\text{dB}$ ,  $-29.63\text{dB}$ ,  $-27.09\text{dB}$  عند تردد المرن  $100\text{THz}$  ( $282.68, 250, 234.7, 203.61$ ). بالإضافة إلى ذلك، تظهر في الشكل 3.13 مقاومة بين سماكاتات مختلفة للعازل الكهربائي لتحديد خاصية معامل الانعكاس.



الشكل (3.13): محاكاة معامل الانعكاس  
لسماكت مختلف العازل الكهربائي

##### 4- النتائج:

تمت المحاكاة لأربعة تصاميم للهواي الثنوي ولparamرات تصميمية مختلفة لكل نوع، حيث وجد أن التصميم الأول هو الأسوأ كونه يعاني من تسرب للإشارة وعرض نطاق تردد ضيق للغاية ضمن نطاق التيراهيرتز. أما التصميم الثاني فقد أدى استخدام الغبا المكونة من ثواب من السلكون والذهب إلى تحسين معامل الانعكاس. في التصميم الثالث تم استخدام فيها ذهبية اسطوانية أدت للتقليل تسرب الإشارة الكهروطيسية عبر دليل الموجة وبالتالي معامل انعكاس أفضل. أما التصميم الأخير فقد استخدم تقنية وهي عبارة عن دليل موجة مدمج الركيزة، حيث تم الحصول على أفضل معامل انعكاس من بين مختلف التصاميم وله أعلى نطاق تردد ساوي  $100\text{THz}$ .

##### 5- المراجع:

- Ramesh et al, Microstrip Antenna Design Handbook, london: artechhouse, 2019.
- Amanti et al, "Horn Antennas for Terahertz Quantum CascadeLasers," ELECTRONICS LETTERS, vol. 43, no. 10, May 2017.
- Constance A. Balanis, Advanced Engineering Electromagnetics, New York: John Wiley & Sons, 2018.
- Shubhendra , "Design and Analysis of Pyramidal Horn Antenna at 8 GHz Frequency," International Journal of Advanced Research in Electronics and Communication Engineering, vol. 3, no. 2, February 2014.
- Krasnok A. et al, "Optical Nanoantennas," Physics – Uspekhi, 56, no. 6, November 2022.
- Tadao et al, "Advances in Terahertz Communications Accelerated by Photonics," NATURE PHOTONICS, vol. 10, June 2016.
- Kumud Jha and Singh G., "Terahertz Planar Antennas for FutureWireless Communication: Atechnical review," Elsevier, 2013.
- Garcia-Parajo , "Optical Antennas Foucs in on Biology," Nat. Photon. 2, 2018.
- Andrea A. and Nader E., "Theory, Modeling and Features of Optical Nanoantennas," IEEE,

**اللّوّاصل:**

سوريا - محافظة حماة - الطريق الدولي حمص - حماة

0096334589094

00963335033

info@wpu.edu.sy

**موقع مرتبطة:**

موقع الجامعة الوطنية الخاصة

موقع المكتبة الرقمية للجامعة الوطنية الخاصة

موقع الوحدة الأكاديمية للجامعة الوطنية الخاصة

موقع الوحدة الطلابية للجامعة الوطنية الخاصة

موقع بوابة الطالب الالكتروني

**الجامعة الوطنية الخاصة**

**تأسست عام 2007 وتضم ست كليات:**

- كلية طب أسنان
- كلية الصيدلة
- كلية الهندسة (المعلوماتية والإنترنت)
- كلية الهندسة المدنية
- كلية هندسة العمارة والتخطيط المعماري
- كلية المعلوماتية والإدارة والمالية

تحدد إدارة المواقع الإلكترونية في الجامعة الوطنية الخاصة